

# روش‌های مختلف سنتز نانو پودر دیبورید زیرکونیم (ZrB<sub>2</sub>)

مینا سعیدی حیدری، مهری مشهدی

دانشگاه صنعتی مالک اشتر

Minasaeedi85@gmail.com

**چکیده:** دیبورید زیرکونیم (ZrB<sub>2</sub>) خواص منحصر به فردی دارد و به همین علت به عنوان ماده‌ای با کاربردهای حساس در هوافضا مانند پروازهای مأمور صوت و یا سیستم‌های پیشرانه موشک شناخته شده است. سینتر این ماده به علت پیوندهای کوالانت قوی و نفوذ در خود پایین مشکل است و نیاز به دماهای بالا و فشار خارجی دارد که سنتز پودرهای نانو می‌تواند منجر به بهبود تراکم این ماده شود. روش‌های سنتز بسیاری برای تولید نانو پودرهای دیبورید زیرکونیم به کار رفته‌اند. در یک دسته بندی کلی این روش‌ها به واکنش بین زیرکونیم و بور، روش‌های احیا، روش‌های شیمیایی و روش‌های واکنشی تقسیم بندی می‌شوند. در این مقاله ابتدا ساختار، خواص و کاربردهای عمله پودر دیبورید زیرکونیم آورده شده و در ادامه جزئیات روش‌های سنتز و خواص نهایی پودرهای حاصل گزارش شده است.

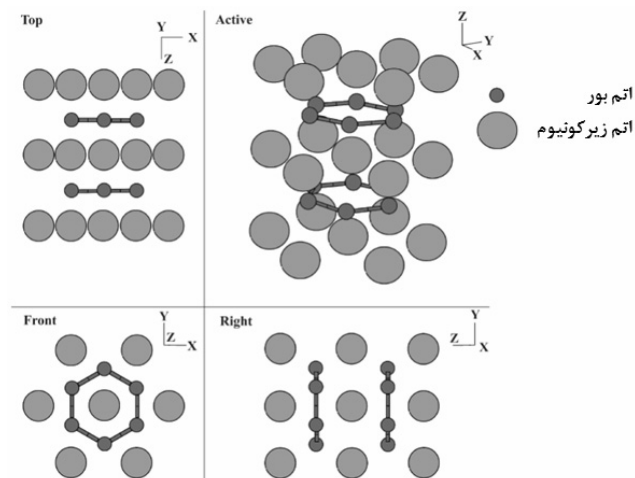
**كلمات کلیدی:** نانو ذرات، دیبورید زیرکونیم (ZrB<sub>2</sub>)، روش‌های سنتز، خواص، کاربرد.

## ۱- مقدمه

دیبورید زیرکونیم یکی از مواد شناخته شده به عنوان سرامیک‌های دما بالا است که خواص بسیار خوبی نظریر دمای ذوب بالا، سختی بالا، مدول یانگ بالا و ... دارد. این خواص منجر به کاربرد این ماده به عنوان مواد محافظ حرارتی، ابزارهای برش، الکترودهای دما بالا، اجزای موتور برای پروازهای مأمور صوت، پیشرانه موشک و ... شده است. با این حال کاربردهای سرامیک‌های بر پایه دیبورید زیرکونیم به علت ویژگی‌های این پودر مانند اندازه ذرات، خلوص و ... آن محدود شده است [۱]. از طرف دیگر، سینترپذیری دیبورید زیرکونیم به علت پیوندهای کوالانت قوی، ضربی نفوذ در خود پایین، نقطه ذوب بالا و فشار بخار بالا نیاز به دماهای بالا و فشار خارجی دارد. هر چه اندازه ذرات کوچک‌تر باشد، نیروی محرکه سینتر قوی‌تر بوده و خواص مکانیکی بالاتری در دماهای سینتر کمتر حاصل خواهد شد. به همین سبب پژوهش‌های بسیاری برای سنتز ذرات نانومتری دیبورید زیرکونیم صورت گرفته است [۲ و ۳]. در این مقاله ابتدا خواص عمله دیبورید زیرکونیم شامل ساختار کریستالی، خواص مکانیکی، حرارتی، الکتریکی و شیمیایی که در بسیاری از کاربردها اهمیت دارند آورده شده و در ادامه کاربردها، روش‌های سنتز، اندازه ذرات و خلوص پودر نهایی بررسی شده است.

## ۱-۱- ساختار دیبورید زیرکونیم

دیبورید زیرکونیم (ZrB<sub>2</sub>) یکی از پایدارترین بوریدها است که دارای ساختار هگزاگونال می‌باشد و از شبکه‌های دو بعدی اتم‌های بور ساخته شده و شامل پیوندهای B-B، Zr-Zr و Zr-B است. ساختار کریستالی این ماده در شکل ۱ نشان داده شده است. هر اتم زیرکونیم در هر لایه با ۶ اتم زیرکونیم و ۱۲ اتم بور همسایه است. در وضعیت مشابه، هر اتم بور با ۳ اتم بور در هر صفحه و ۶ اتم زیرکونیم همسایه است [۴].



شکل ۱- ساختار کریستالی دیبورید زیرکونیم [۲].

## ۲- خواص دیبورید زیرکونیم

دیبورید زیرکونیم ( $ZrB_2$ ) علاوه بر نقطه ذوب بالا، خواص عالی دیگری نیز دارد که برخی از این خواص ساختاری، فیزیکی، انتقالی و ترمودینامیکی در جدول ۱ آورده شده است. پیوند قوی بین  $Zr-Zr$  و  $B-B$  و  $Zr-B$  خواص این ماده را کنترل می‌کند. پیوندهای  $Zr-B$  و  $B-B$  مسئول دمای ذوب بالا و سختی بسیار دیبورید زیرکونیم می‌باشند. نسبت نقطه ذوب بوریدهای فلزی به نقطه ذوب فلزات خالص تعیین کننده پایداری بوریدها است و با افزایش این نسبت، پایداری بوریدها افزایش می‌یابد. دیبورید زیرکونیم بعد از دیبورید تیتانیم سخت‌ترین ماده است و بالاترین نقطه ذوب را در بین بوریدهای فلزی گروه چهارم جدول تناوبی دارد [۴].

جدول ۱- خواص دیبورید زیرکونیم [۲ و ۴].

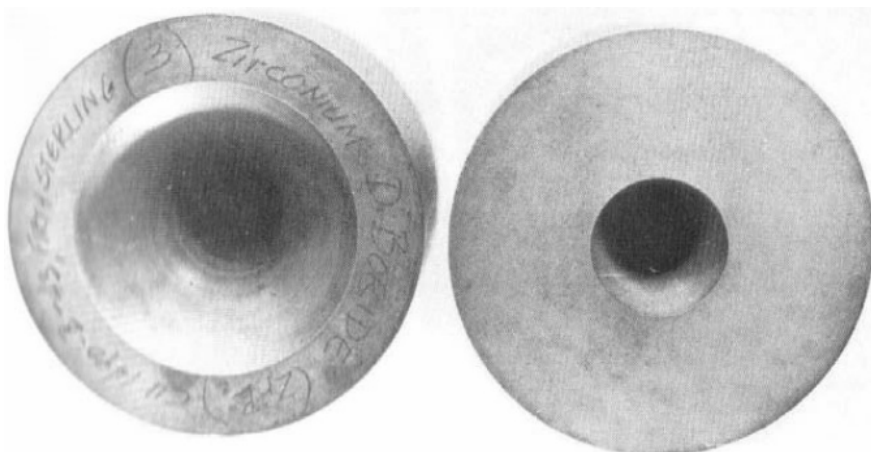
خواص	مقادیر برای دیبورید زیرکونیم ( $ZrB_2$ )
سیستم کریستالی	هگزاگونال
ساختار اولیه	P6/mmm $AlB_2$
$a = b$ (Å)	۳/۱۷
$c$ (Å)	۳/۵۳
(gr/cm <sup>3</sup> ) چگالی	۶/۱۱۹
(°C) دمای ذوب	۳۲۴۵
(GPa) مدول یانگ	۴۸۹
(GPa) مدول بالک	۲۱۵
(GPa) سختی	۲۳
(K <sup>-1</sup> ) ضریب انبساط حرارتی	$5/۹ \times 10^{-6}$
(J.(mol.K) <sup>-1</sup> ) ۲۵ °C ظرفیت حرارتی در	۴۸/۲
(μohm.cm) مقاومت الکتریکی	۷-۱۰
(W.(m.K) <sup>-1</sup> ) هدایت حرارتی	۶.
(kJ) ۲۵ °C آنتالپی تشکیل در	-۳۲۲/۶
(kJ) ۲۵ °C انرژی آزاد تشکیل در	-۳۱۸/۲



مقاومت الکتریکی دیبورید زیرکونیم بیانگر هدایت بالای آن است. این ماده هدایت الکتریکی بیش تری نسبت به فلز مادر آن یعنی زیرکونیم دارد. به علاوه ضریب انبساط حرارتی آن نیز کمتر از زیرکونیم است و هدایت حرارتی بسیار خوبی دارد.

### ۳- کاربردهای دیبورید زیرکونیم

ترکیب این خواص، منجر به کاربرد بسیار ZrB<sub>2</sub> و سرامیک‌های بر پایه ZrB<sub>2</sub> در صنایع مختلف شده است که از جمله می‌توان به پوشش‌های مقاوم در دماهای بالا و مقاوم در برابر اکسیداسیون و خوردگی، نازل‌های اسپری‌های دما بالا، صنایع نظامی، پیشرانه موشک، قطعات الکترونیکی، ابزارهای برش، اجزای موتور برای پروازهای مافوق صوت، محافظ حرارتی برای وسایل نقلیه هوایی، بوتهای ذوب فلزات، الکترودهای دما بالا و پوشش‌های محافظ برای فولادها اشاره نمود. نازل موشک ساخته شده از ZrB<sub>2</sub> در شکل ۲ نشان داده شده است [۲-۵].



شکل ۲- نازل موشک ساخته شده از دیبورید زیرکونیم [۴].

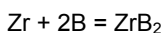
### ۴- روش‌های سنتز

سنتز ذرات دیبورید زیرکونیم به وسیله دانشمندان بسیاری بررسی شده است و بسیاری از روش‌های مورد استفاده منجر به سنتز ذرات دیبورید زیرکونیم با اندازه ذرات نانو و خلوص بالا شده است. سنتز پودرهای بسیار ریز می‌تواند نیروی محركه سینتر شدن را افزایش داده و منجر به پهلوود تراکم و افزایش خواص مکانیکی سرامیک حاصل از پودر دیبورید زیرکونیم شود. تاکنون روش‌های مختلفی نظری و اکنش بین زیرکونیم و بور، روش‌های احیا، روش‌های شیمیایی و واکنشی برای سنتز پودر ZrB<sub>2</sub> به کار رفته‌اند.

#### ۴-۱- واکنش بین پودرهای زیرکونیم و بور

واکنش بین زیرکونیم و عنصر بور مستقیم ترین روش سنتز ذرات دیبورید زیرکونیم است. استفاده از این روش به صدها سال قبل بر می‌گردد و دیبوریدهای خالص تا ۵۰ سال پیش به علت مشکلات به دست آوردن بور خالص، تولید نشده بودند [۲]. تولید دیبورید زیرکونیم به این روش امکان کترنل ترکیب و خلوص پودر حاصل را افزایش می‌دهد. با این حال این روش به علت هزینه بالای پودرهای بور و زیرکونیم غیر اقتصادی است [۶]. علاوه بر این روش مذکور نیاز به دماهای فعالسازی بالایی دارد. مکینو<sup>۱</sup> و همکارانش [۷] دمای فعالسازی واکنش ۱ را که بین زیرکونیم و بور صورت می‌گیرد، ۱۴۶۷°C گزارش کردند. این واکنش به شدت گرماده بوده و ممکن است سبب ایجاد آتش در محفظه شود.

<sup>۱</sup> Makino

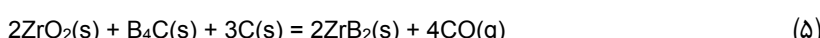


(1)

همچنین واکنش پذیری پودر عناصر خالص در معرض اکسیژن نیز بسیار بالا است. بنابراین، ذرات زیرکونیم می‌توانند به سرعت با فیلمی اکسیدی پوشیده شوند. دانشمندان به منظور غلبه بر این موارد، به جای استفاده از پودرهای عناصر زیرکونیم و بور از روش‌های سنتز دیگری استفاده کرده‌اند که در آن‌ها از اکسید زیرکونیم استفاده شده است [۴ و ۸].

۴-۲- وثیرهای احیا

روش‌های احیا به سه دسته احیای کربوترمال  $ZrO_2$  و  $B_2O_3$ ، احیای بوروترمال  $ZrO_2$  و احیای بوروکربوترمال  $ZrO_2$  و  $B_4C$  تقسیم می‌شوند. اساساً واکنش‌های احیا کنترل پذیر بوده و نسبت به دیگر روش‌ها کم هزینه‌تر می‌باشند [۵] و [۶] که رایج ترین این واکنش‌ها عبارتند از:



واکنش ۲ برای تولید پودرهای  $ZrB_2$  تجاری به کار برده می‌شود. واکنش ۳، به عنوان واکنش احیای بوروترمال شناخته شده است و با اینکه واکنش ساده‌ای است که از دو واکنش دهنده و دو محصول تشکیل شده است ولی توجه زیادی به آن نشده است. واکنش‌های ۴ و ۵، اغلب تحت شرایط آزمایشگاهی استفاده می‌شوند [۱۰ و ۱۱]. معمولاً در محصولات حاصل از واکنش‌های ۲، ۴ و ۵ فازهای کاربید و کربن به عنوان ناخالصی در پودر نهایی مشاهده شده‌اند. در واکنش‌های احیای بوروترمال، بور به عنوان اصلی ترین ناخالصی شناخته شده است. اگرچه که کربن در عایق‌ها و المنت‌های گرافیتی کوره حضور دارد، عدم خلوص محصول نهایی به علت واکنش ۲ محدود شده است، به طوریکه  $B_2O_3$  یک محصول میانی واکنش ۳ بوده و همچنین می‌تواند همراه با پودر اولیه B تولید شود. گزارش‌های اخیر نشان داده‌اند که مقدار مناسب B می‌تواند ناخالصی‌های اکسیژن را دفع کرده و فرایند متراکم شدن سرامیک‌های حاوی  $ZrB_2$  را بهبود بخشد. بنابراین پودرهای  $ZrB_2$  تهیه شده به وسیله احیای بوروترمال ممکن است مزیت‌هایی را در زمینه‌ی ساخت سامپک‌های، ب بایه،  $ZrB_2$  داشته باشند [۲۱].

واکنش‌های ۲ و ۵ بسیار مشابه یکدیگر می‌باشند، با این حال هنگامیکه از  $B_4C$  به عنوان منبع کربن استفاده شده، مونوکسید کربن کمتری در محصول نهایی تولید شده و واکنش در دمای پایین تری رخ داده است. این واکنش‌ها هر دو بسیار گرمگیر بوده و بنابراین برای دماهای بسیار بالا مطلوب هستند. واکنش ۲ برای دماهای بالای  $1500^{\circ}C$  مطلوب بوده و واکنش ۳ در دماهای بالاتر از  $1400^{\circ}C$  مطلوب است. معمولاً دماهای نزدیک به  $2000^{\circ}C$  باید است. همچنان که مذکور شد،  $ZrB_2$  به دلیل این خواص مورد استفاده قرار می‌گیرد.

بر پایه واکنش‌های ذکر شده، محققان بسیاری تحقیق کرده و نتایج قابل توجهی را به دست آورده‌اند. از جمله کاراسو<sup>[۱۳]</sup>، احیای کربوت‌مال مخلوط اکسیدهای زیرکونیم و بور را بررسی کرده است. فانک<sup>۲</sup> و همکارش [۱۴]، تأثیر ترکیب شیمیایی و اندازه ذرات کاربید بور را بر ترکیب فازی و شیمیایی پودر ZrB<sub>2</sub> بررسی کرده‌اند. کازنکاوا<sup>۳</sup> و همکارش، [۱۵] نیز سنتر پودر ZrB<sub>2</sub> را از طریقه روش، بور و کربوت‌مال بررسی کرده‌اند.

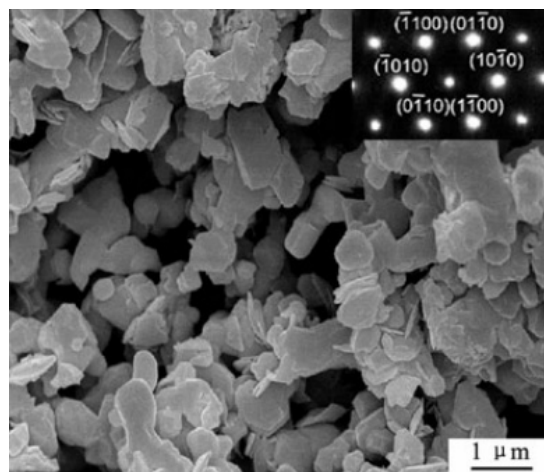
<sup>1</sup> Karasev

Karasek  
2 Funke

<sup>3</sup> Funke  
<sup>3</sup> Kuzenkova

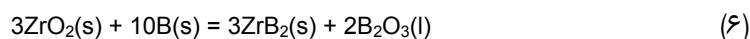


پشو و بلیزناکا<sup>۱</sup> [۹] گزارش کرده‌اند که برای پیشرفت کامل واکنش  $ZrO_2$  و بور نیاز به دمای بالاتر از  $1600^{\circ}C$  است. بارتون و نیکلاس<sup>۲</sup> [۱۶] نیز از واکنشی مشابه برای تولید گاز  $BO$  و به دست آوردن  $ZrB_2$  در دمای  $1150^{\circ}C$  استفاده کرده‌اند. در گزارش‌هایی که ذکر شد، اساساً روی ترکیب پودر  $ZrB_2$  کار شده و هیچ اطلاعاتی در زمینه روش، اندازه ذرات و مورفولوژی حاصل ارائه نشده است. با این حال ژاو<sup>۳</sup> و همکارش [۱۰] در سال ۱۹۹۵، جیو<sup>۴</sup> و همکارش [۱۱] در سال ۲۰۰۹ و سانبر<sup>۵</sup> و همکارانش [۱۷] در سال ۲۰۱۱، تاثیر دما و زمان نگهداری را بر خلوص و اندازه ذرات پودر  $ZrB_2$  سنتز شده از طریق فرایند بوروکربوتمال با  $ZrO_2$  و کربن در اتمسفر خنثی بررسی کرده‌اند. هی جی<sup>۶</sup> و همکارانش [۱۸] نیز ذرات  $ZrB_2$  را با استفاده از روش بوروکربوتمال و با استفاده از نانو ذرات  $ZrO_2$ ، نانو ذرات کربن و بور آمورف در دمای  $1550^{\circ}C$  و به مدت ۲ ساعت سنتز کرده‌اند. متوسط اندازه ذرات حاصل از روش فوق یک میکرومتر و مورفولوژی ذرات صفحه‌ای شکل است (شکل ۳).



شکل ۳- تصویر SEM ذرات دیبورید زیرکونیم با استفاده از روش بوروکربوتمال [۱۸].

رن<sup>۷</sup> و همکارانش [۱۹] پودرهای دیبورید زیرکونیم با ابعاد زیر میکرون را به روش احیای بوروکربوتمال نانو ذرات  $ZrO_2$ ، بور و مقدار کمی  $H_3BO_3$  سنتز کرده‌اند. آن‌ها علاوه بر اندازه و مورفولوژی ذرات  $ZrB_2$  روی چگونگی واکنش‌ها از لحاظ تجربی و ترمودینامیکی نیز بحث کرده‌اند. آن‌ها ابتدا  $ZrO_2$  و  $B$  را با یکدیگر مخلوط کرده‌اند که منجر به تشکیل (l)  $ZrB_2$  و (s)  $B_2O_3$  شده است (واکنش ۶). در ادامه واکنش‌ها (l)  $B_2O_3$  به وسیله‌ی باقیمانده‌ی (s)  $B$  در دمایی بالاتر مصرف شده و منجر به تولید (g)  $B_2O_2$  ناپایدار و (g)  $BO$  شده است (واکنش ۷). همچنین ممکن است (g)  $BO$  به وسیله‌ی واکنش مستقیم بین (l)  $B_2O_3$  و (s)  $B$  یا به وسیله تجزیه فاز گازی (g)  $B_2O_2$  به دست آید (واکنش ۸) [۲۰].



فشار محیط به شدت بر دمای اولیه و مقدار نسبی اکسید بور تولید شده از واکنش (l)  $B_2O_3$  و (s)  $B$  اثر گذار

<sup>1</sup> Peshev and Bliznakov

<sup>2</sup> Barton and Nicholls

<sup>3</sup> Zhao

<sup>4</sup> Guo

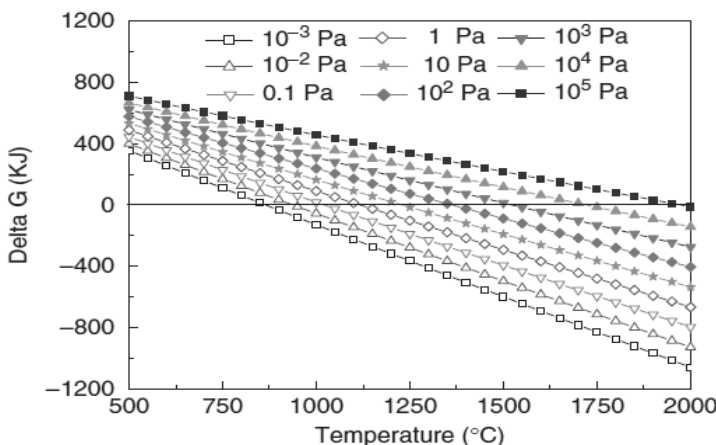
<sup>5</sup> Sonber

<sup>6</sup> Haijie

<sup>7</sup> Ran

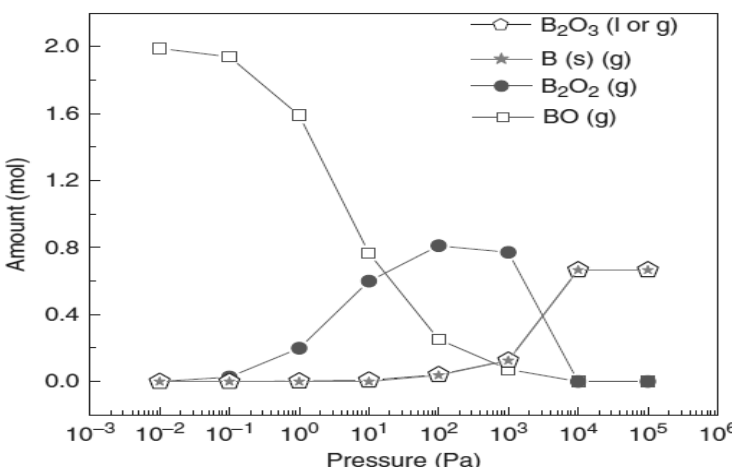


است. انرژی آزاد گیبس واکنش ۷ به عنوان عملکرد دما و فشار جزئی ( $B_2O_2(g)$ ) در شکل ۴ نشان داده شده است. فشار محیطی روی دمای شروع واکنش تشکیل گاز موثر است. برای مثال، دمای شروع واکنش ۷ در حالت استاندارد ( $PB_2O_2 = 1/10^3 \times 10^5 Pa$ ) از  $1950^\circ C$  به  $850^\circ C$  در فشار  $10^{-3} Pa$  کاهش می‌یابد. این محققان فشار جزئی ( $B_2O_2(g)$ ) را فشار کوره (بین ۱۰ و ۱۲۰ پاسکال) فرض کردند و به این معنی است که دمای مناسب برای واکنش ۷ تحت شرایط تجربی بین ۱۲۵۰ و ۱۳۵۰ درجه سانتی‌گراد است.



شکل ۴- انرژی آزاد گیبس واکنش ۶ به عنوان عملکرد دما و فشار جزئی ( $B_2O_2(g)$ ) [۱۹].

فشار محیطی یعنی فشار کوره، بر نوع و مقدار ترکیبات B-O اثرگذار است که به طور خلاصه در شکل ۵ آورده شده است. در  $1650^\circ C$ ,  $BO(g)$  تنها محصول اکسید بور تحت فشار زیر  $10^{-3}$  پاسکال است، در حالیکه  $B_2O_3$  و  $B(s)$  محصولات حاصل در فشار  $10^4$  پاسکال است.  $BO(g)$ ,  $B(s)$ ,  $B_2O_2(g)$  و  $B_2O_3(g)$  در فشار بین  $10^{-3}$  و  $10^4$  پاسکال به صورت همزمان حاصل می‌شوند.

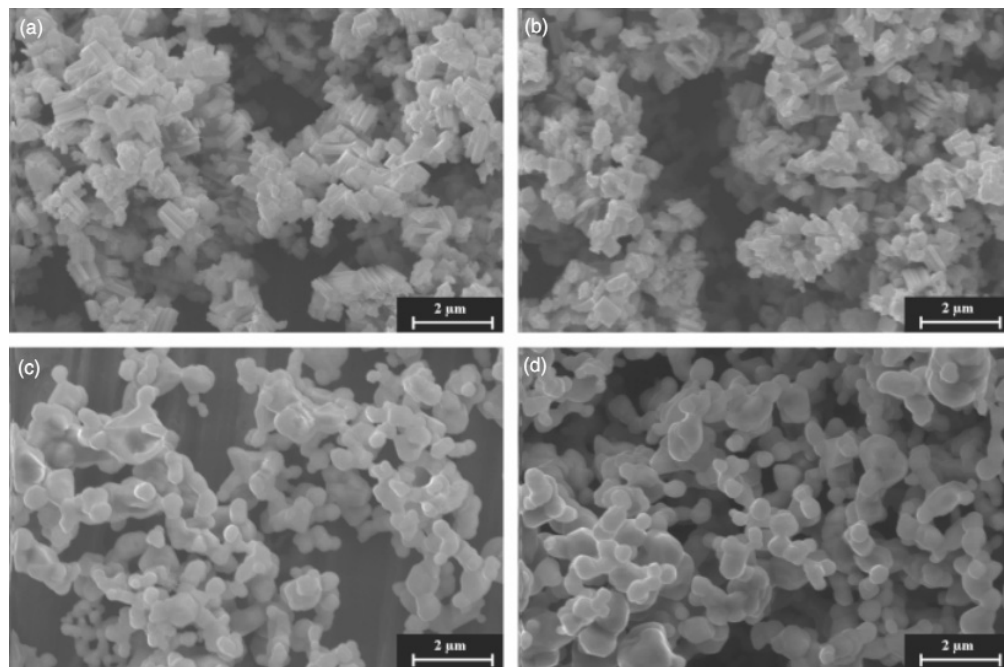


شکل ۵- محصولات وابسته به بور به عنوان تاثیر فشار محیطی در دمای  $1650^\circ C$  برای واکنش یک مول دی اکسید زیرکونیم و ۴ مول بور [۱۹].

واکنش‌های کربوترمال و بوروکربوترمال بر اساس ترمودینامیک در دمای زیر  $1000^\circ C$  در خلا (حدود ۱۰ پاسکال) مطلوب هستند [۱۱]. با این حال نتایج تجربی نشان دهنده این است که حتی با افزودن  $B_4C$  در زیر  $1500^\circ C$ ,  $ZrO_2$  واکنش نکرده و فراورده‌های نامناسبی نظیر  $ZrC$  و  $C$  حاصل می‌شوند [۱۱ و ۱۴]. شکل ۶ تصاویر SEM پودرهای  $ZrB_2$  سنتز شده در دماهای مختلف را نشان می‌دهد. پودرهای  $ZrB_2$  به دست آمده در  $1000$  و  $1200$  درجه سانتی‌گراد، دارای سطوح کوچک بوده، در حالیکه پودرهایی که در دماهای  $1500$  و  $1650$  درجه سانتی‌گراد حرارت دیده‌اند، تقریباً کروی شکل هستند. با افزایش دمای سنتز (بالای  $1400^\circ C$ )،

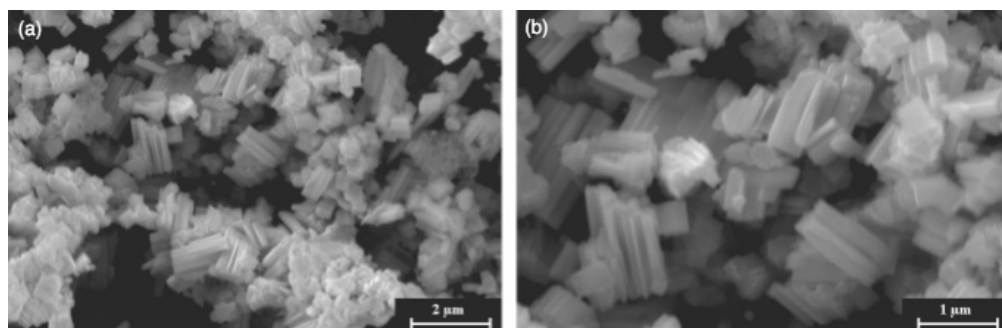


(I)  $\text{B}_2\text{O}_3$  در سیستم به سبب تبخیر و بر اساس واکنش ۶ مصرف می‌شود. در نتیجه در بالای  $1200^\circ\text{C}$ ، فاز مایع به مقدار کم یا بسیار ناچیز خواهد بود [۱۹].



شکل ۶- تصاویر SEM پودرهای  $\text{ZrB}_2$  سنتز شده در دماهای [۱۹]  $1650^\circ\text{C}$  (c)،  $1200^\circ\text{C}$  (b)،  $1000^\circ\text{C}$  (a) و  $1000^\circ\text{C}$  (d)

تبديل کامل  $\text{ZrO}_2$  به  $\text{ZrB}_2$  می‌تواند بعد از دو ساعت در دمای  $1000^\circ\text{C}$  و در خلا به میزان  $10\text{--}20$  پاسکال صورت پذیرد، اما برای اینکه بورهای باقیمانده به طور کامل از بین بروند، نیاز به دماهای بالاتر از  $1500^\circ\text{C}$  می‌باشد. مورفولوژی پودرهای  $\text{ZrB}_2$  به دست آمده از شکل‌های کوچک در  $1000^\circ\text{C}$  به کروی شکل در  $1500^\circ\text{C}$  تغییر کرده که می‌تواند به سبب حضور (I)  $\text{B}_2\text{O}_3$  و یا درشت شدن دانه‌ها حین افزایش دما باشد. اگرچه که تشخیص بین اثر دما و (I)  $\text{B}_2\text{O}_3$  مشکل است، ولی از مقایسه شکل‌های ۶ و ۷ مشاهده می‌شود که با افزودن  $\text{H}_3\text{BO}_3$  به جای  $\text{B}_2\text{O}_3$  در دمای  $1000^\circ\text{C}$ ، فاز  $\text{B}_2\text{O}_3$  مایع بیشتر شده و شکل دانه‌های  $\text{ZrB}_2$  به دست آمده از  $\text{B}_2\text{O}_3$  در این دما، بسیار مسطح‌تر و یکنواخت‌تر از شکل پودرهای به دست آمده از  $\text{H}_3\text{BO}_3$  به عنوان پودر اولیه در همان دما است. اندازه ذرات حاصل از BET با افزایش دمای سنتز از  $1000\text{--}1650^\circ\text{C}$  در سانتی‌گراد بین  $0\text{--}66 \mu\text{m}$  به دست آمده و میزان اکسیژن پودرهای سنتز شده‌ی  $\text{B}_2\text{O}_3$  نیز در دمای  $1650^\circ\text{C}$  کمتر از  $43\text{ wt\%}$  بوده است [۱۹].

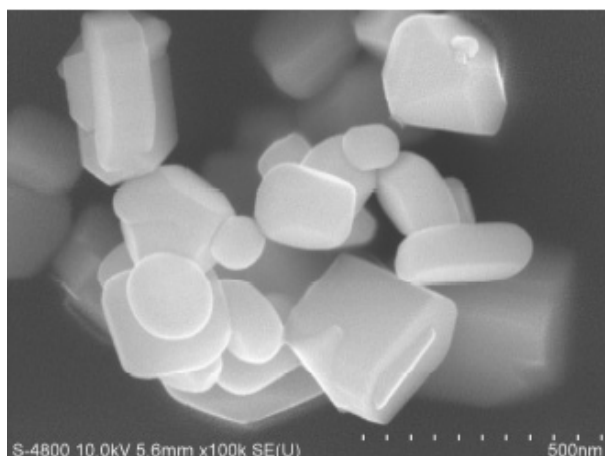


شکل ۷- تصاویر SEM، (a) با بزرگنمایی کم و (b) بزرگنمایی زیاد (پودرهای  $\text{ZrB}_2$  سنتز شده در دمای  $1000^\circ\text{C}$  با افزودن  $50\text{ wt\%}$   $\text{H}_3\text{BO}_3$  به مخلوط پودر اولیه) [۱۹].

از مزایای روش احیای کربوئرمال نسبت به سایر روش‌های احیا این است که هیچ ناخالصی اکسیدی در

محصول نهایی وجود ندارد [۴]. با این حال در این روش ضمن اینکه مدت زمان زیادی جهت انجام فرایند مورد نیاز است، واکنش در دمای بالا صورت می‌پذیرد و در نتیجه پودرهای سنتز شده، اندازه‌ی کریستال‌های نسبتاً بزرگ و سینتر پذیری کمی خواهند داشت [۱۹].

به منظور سنتز نانو ذرات ZrB<sub>2</sub><sup>۱</sup> سان و همکارانش [۳] از روشی متفاوت استفاده کرده‌اند. آن‌ها با استفاده از واکنش احیای بوروترمال با سرعت حرارت‌دهی بسیار بالا (۲۰۰ °C/min) در دمای کم (۹۵۰ °C) و مدت زمان ۵ دقیقه موفق به سنتز نانو ذرات شده‌اند. در این روش زیرکونیم اکسی کلراید (Zirconium oxychloride) و بور به عنوان منابع اولیه زیرکونیا و بور به کار رفته شده است. در تصویر FE-SEM، مشاهده می‌شود که ذرات ZrB<sub>2</sub>، مورفلوژی صفحه‌ای شکل دارند و اندازه کریستال‌های پودرهای سنتز شده کمتر از ۳۰۰ nm به دست آمده است (شکل ۸).



شکل ۸- تصویر FE-SEM پودرهای ZrB<sub>2</sub> سنتز شده در دمای ۹۵۰ °C به مدت ۵ دقیقه [۳].

اخيراً هي لانگ<sup>۲</sup> و همکارانش، پودرهای ZrB<sub>2</sub> را در دمای ۱۶۰۰ °C با خلوص بالا (۹۹/۶۷ wt%) و اندازه ذرات بسیار ریز نانومتری (۱۰۰-۵۰ nm) با استفاده از واکنش کربوترمال و از طریق روش رسوب دهی مواد محلول به دست آورده‌اند. در این روش، زیرکونیم اکسی کلراید و کاربید بور و پودر کربن به عنوان مواد اولیه به کار رفته‌اند (واکنش ۹).



دمای سنتز تاثیر بسیاری بر اندازه ذرات دارد، بطوريکه در دمای کمتر پودر ریزتر حاصل می‌شود. ترکیب شیمیابی پودر حاصل در دماهای مختلف، به وسیله XRF در جدول ۲ تخمین زده شده است [۲۱].

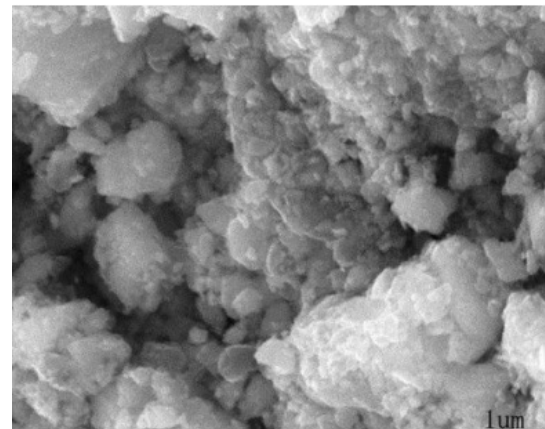
جدول ۲- مقایسه اندازه ذرات پودرهای ZrB<sub>2</sub> سنتز شده در دماهای مختلف [۲۱].

Temperature[°C]	BET [m <sup>2</sup> /g]	Size[nm]	Oxygen content[wt%]	Pure[%]
1500	11.67	84.3	0.77	98.22
1550	14.12	69.7	0.46	99.15
1600	18.33	53.7	0.18	99.67
1650	9.27	106.1	0.26	98.73

شکل ۹، تصاویر SEM پودر ZrB<sub>2</sub> به دست آمده در دمای ۱۶۰۰ °C را نشان می‌دهد. همانطور که مشاهده می‌شود، قسمت‌های عمدۀ پودر سنتز شده در دمای ۱۶۰۰ °C نسبتاً ریز (کمتر از ۲۰۰ nm) و عمدتاً از نظر شکل بی‌قاعده هستند. متوسط اندازه ذرات ۱~۲ μm است [۲۱].

<sup>1</sup>Sun  
<sup>2</sup>Hailong





شکل ۹- تصویر SEM پودر سنتز شده در دمای ۱۶۰۰ °C [۲۱].

#### ۴-۳- روش‌های شیمیایی

منظور از روش‌های شیمیایی، فرایندهایی است که در آن یکی یا همه اجزا محلول باشند. منبعی که بور از آن تهیه می‌شود، اسید بوریک و آلکوکسیدهای بور می‌باشند. مهمترین امتیاز روش‌های بر پایه محلول این است که اجزا (در مقیاس اتمی یا مولکولی) اختلاط بیشتری با هم دارند [۲۲]. این دسته شامل روش‌های سنتز الکتروشیمیایی، اجای همزمان و روش سل ژل با استفاده از مواد اولیه آلی- فزی در یک حلال آلی و یا مواد اولیه هیبریدی آلی و غیر آلی می‌باشد.

اساس فرایند رسوب‌دهی الکتروشیمیایی بر انجام واکنش‌های اکسیداسیون و احیاء در فاز مایع به وسیله اعمال جریان و ولتاژ مناسب استوار است. برای داشتن این عمل، داشتن سه جزء کاتد، آند و الکتروولیت الزامی است. آند الکترودی است که در آن واکنش‌های اکسیدی صورت می‌گیرد. واکنش احیاء نیز در کاتد انجام می‌شود و الکتروولیت محیط انتقال یون‌ها و الکترون‌ها را فراهم می‌کند [۲۳].

سنتز الکتروشیمیایی دیبورید زیرکونیم به طور گسترده مطالعه شده است. در سال ۱۹۹۲ تهیه بوریدها به وسیله الکتروولیز فلوریدهای مذاب، اکسیدهای بور و یک فلز دما بالا در دمای ۹۰۰-۱۰۰۰ درجه سانتی‌گراد مورد بررسی قرار گرفته است و ۱۷ بورید از جمله  $\text{ZrB}_2$ ,  $\text{TiB}_2$ ,  $\text{VB}_2$ ,  $\text{NbB}_2$ ,  $\text{CrB}_2$  سنتز شد [۲۴]. آنتونی<sup>۱</sup> و همکارش [۲۵] نیز سنتز بر پایه این روش را از طریق سیستم  $\text{KBF}_4 - \text{K}_2\text{ZrF}_6 - \text{B}_2\text{O}_3 - \text{ZrO}_2$  در دمای  $600^{\circ}\text{C}$  بررسی کردند. ملار<sup>۲</sup> و همکارش [۲۶] این روش را در سیستم  $\text{NaF} - \text{KF} - \text{LiF} - \text{ZrF}_4 - \text{B}_2\text{O}_3$  در دمای  $800^{\circ}\text{C}$  در دماهای  $800-800^{\circ}\text{C}$  درجه سانتی‌گراد بررسی کرده و پوشش متراکمی از دیبورید زیرکونیم را روی کاتد به دست آورده‌اند. گامز<sup>۳</sup> و همکارانش [۲۷] نیز با استفاده از سیستم  $\text{Na}_2\text{B}_4\text{O}_7 - \text{NaOH} - \text{Na}_3\text{AlF}_6 - \text{NaCl} - \text{ZrSiO}_4$  در دمای  $100^{\circ}\text{C}$  در پودر  $\text{ZrB}_2$  را سنتز کرده‌اند. سیستم  $\text{FLIANK-KBF}_4 - \text{K}_2\text{ZrF}_6$  در دمای  $800^{\circ}\text{C}$  نیز توسط وندت<sup>۴</sup> و همکارانش [۲۸] بررسی شده است. نمک مذاب  $\text{FLiNaK}$  شامل مخلوطی از  $\text{LiF}$ ، فلورید سدیم و فلورید پتاسیم می‌باشد و بسیار پرکاربرد است. دیاتکین<sup>۵</sup> [۲۹] روی سنتز الکتریکی ذرات  $\text{ZrB}_2$  از طریق مذاب کربولیت-آلومینا به همراه زیرکونیم و اکسید بور بررسی کرده است.

در پژوهشی دیگر دیاتکین و همکارانش [۳۰] سیستم  $\text{NaF} - \text{K}_2\text{ZrF}_6 - \text{NaCl} - \text{KCl} - \text{KBF}_4$  را در دماهای  $700-1000^{\circ}\text{C}$  درجه سانتی‌گراد بررسی کرده‌اند. با این حال به علت سمی بودن الکتروولیت‌های مورد استفاده [۳۱]، گران قیمت و مشکل بودن، این فرایند مقرن به صرفه نیست.

<sup>1</sup> Anthony

<sup>2</sup> Mellors

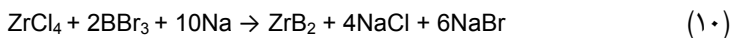
<sup>3</sup> Gomes

<sup>4</sup> Vendt

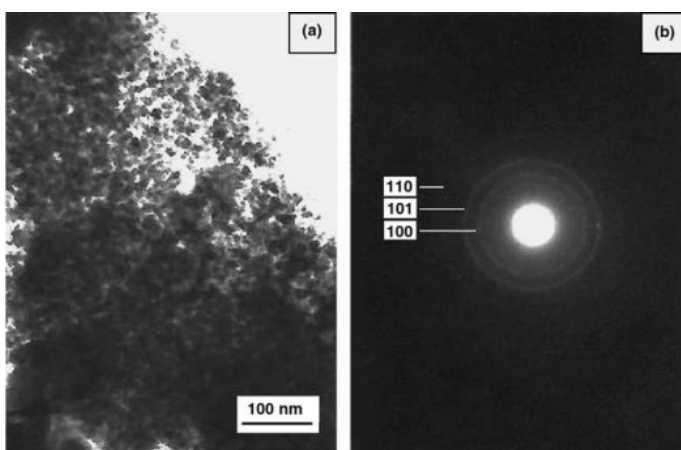
<sup>5</sup> Devyatkin



چن<sup>۱</sup> و همکارانش [۳۲] با استفاده از احیای همزمان  $\text{ZrCl}_4$  و سدیم فلزی به عنوان عامل کاهنده، در دمای  $400^\circ\text{C}$  و پس از ۶ ساعت، نانو کریستال هگزاگونال  $\text{ZrB}_2$  را به دست آورده‌اند (واکنش  $10^\circ\text{C}$  در دمای  $400^\circ\text{C}$ ). به نظر آن‌ها روش حاضر امکان تولید پودر  $\text{ZrB}_2$  با درجه کریستالینیتی بالاتر و یک توزیع اندازه ذرات باریک‌تر را می‌دهد.



به منظور سنتز ذرات در ابعاد نانو، دانشمندان بسیاری روش سل ژل را مورد بررسی قرار داده‌اند که متداول‌ترین روش تولید نانو ذرات در فاز مایع است. دلایل انتخاب این روش، آسانی فرایند، عدم نیاز به تجهیزات ویژه و تنوع محصولات تولیدی است [۲۳]. چن و همکارانش [۳۳] بر اساس واکنش  $\text{ZrCl}_4$  و  $\text{NaBH}_4$  در یک اتوکلاو در دمای  $700^\circ\text{C}$  و به مدت ۱۲ ساعت، توانسته‌اند ذرات  $\text{ZrB}_2$  را با ابعاد  $10-20$  نانومتر سنتز کنند (شکل ۱۰). بر اساس بررسی آن‌ها افزایش دما و فشار منجر به افزایش اندازه کریستال‌ها خواهد شد.



شکل ۱۰- تصویر TEM و الگوی پراش الکترونی ناحیه انتخابی  $\text{ZrB}_2$  تهیه شده به وسیله واکنش  $\text{ZrCl}_4$  و  $\text{NaBH}_4$  در دمای  $700^\circ\text{C}$  و به مدت ۱۲ ساعت [۳۳]

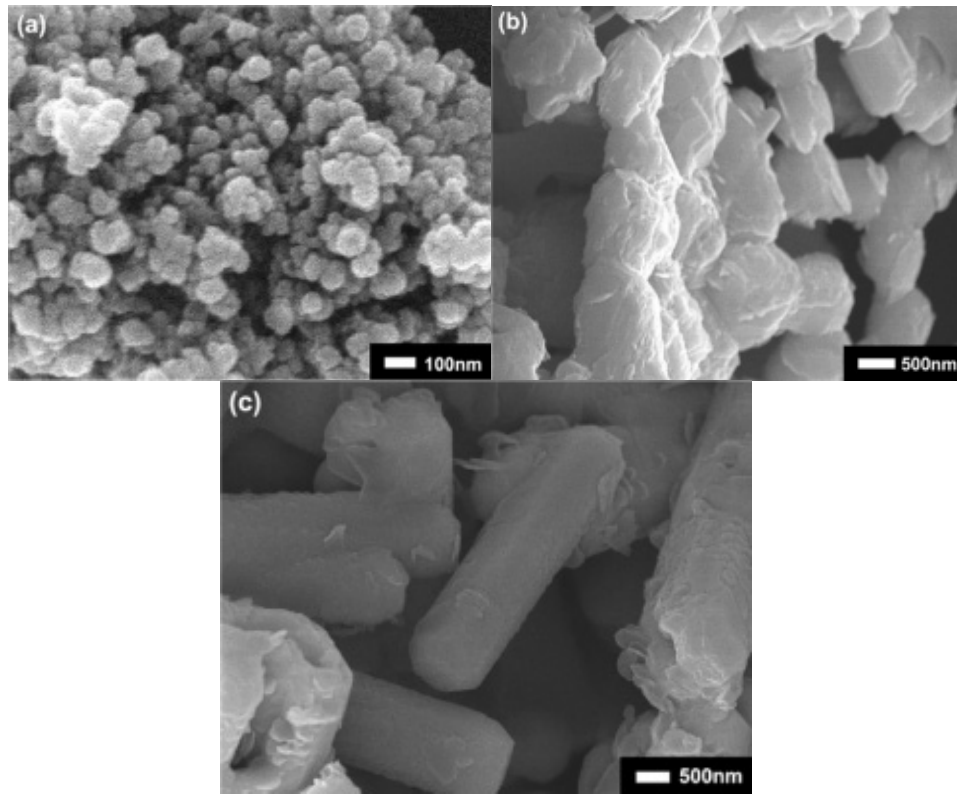
سای<sup>۲</sup> و همکارانش [۲۲] نیز از طریق روش سل ژل و با استفاده از مواد اولیه آن-پروپوکسید ( $\text{Zr}(\text{OPr})_4$ )،  $\text{H}_3\text{BO}_3$  و رزین فنولیک، در دمای  $1300^\circ\text{C}$  و به مدت ۲ ساعت، ذرات تقریباً کروی شکل  $\text{ZrB}_2$  را با ابعاد  $200-600$  نانومتر سنتز کرده‌اند. با این حال بیش تر آلکوکسیدهای شناخته شده به طور خود به خود با آب واکنش داده و تشکیل رسوبی ویسکوز را می‌دهند که نیاز به تغییر شیمیایی به منظور کنترل هیدرولیز دارند. در مورد دیبورید زیرکونیم، ممکن است ماده اولیه ژل مانند به وسیله هیدرولیز ( $\text{Zr}(\text{OPr})_4$ ) با استیل استون (acetyl acetone) تغییر شیمیایی یابد. با این وجود، بیش تر محققان ذکر کرده‌اند که استفاده از استیل استون منجر به تشکیل اکسی کاربید با میزان اکسیژن نسبتاً زیاد شده و منجر به کاهش خواص مکانیکی می‌شود. راه دیگر کنترل هیدرولیز آلکوکسیدها استفاده از تعییل کننده اسید استیک (acetic acid) است [۳۴]. ژانگ<sup>۳</sup> و همکارانش [۱] نیز نانو ذرات  $\text{ZrB}_2$  را با استفاده از روش سل ژل سنتز کرده‌اند. آن‌ها از اسید استیک هم به عنوان تعییل کننده شیمیایی و هم به عنوان حلal برای کنترل هیدرولیز ( $\text{Zr}(\text{OPr})_4$ ) استفاده کرده‌اند. قابل ذکر است که پودر تک فاز  $\text{ZrB}_2$  با نسبت مولی  $\text{B/Zr} = 2/3$  در دمای  $1550^\circ\text{C}$  برای ۲ ساعت به دست آمده است. به علاوه تاثیر دمای ژلاسیون نیز روی شکل ذرات  $\text{ZrB}_2$  بررسی شده است. همانطور که در شکل ۱۱ مشاهده می‌شود با افزایش دمای ژلاسیون، شکل ذرات از کروی شکل در دمای  $65^\circ\text{C}$  به زنجیره‌ای در  $75^\circ\text{C}$  و سپس میله‌ای شکل در  $85^\circ\text{C}$  تغییر می‌کند.

<sup>1</sup> Chen

<sup>2</sup> Xie

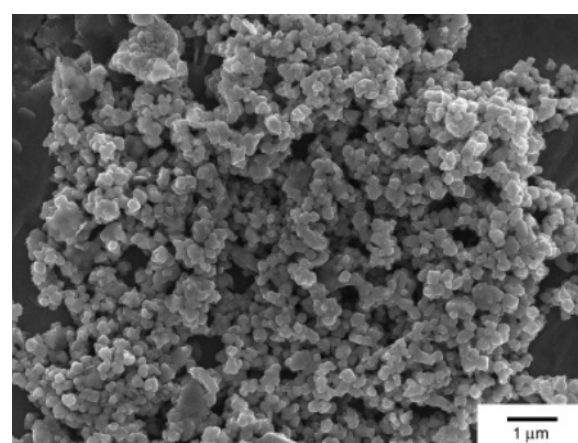
<sup>3</sup> Zhang





شکل ۱۱- تصاویر SEM پودر ZrB<sub>2</sub> سنتز شده در دمای ۱۵۵۰°C به مدت ۲ ساعت در دماهای ۸۵°C (a)، ۷۵°C (b) و ۶۵°C (c).

اگرچه که پودرهای ZrB<sub>2</sub> به طور موفقیت آمیزی از طریق روش سل ژل با استفاده از آلکوکسیدها و دیگر مواد آلی حاصل شده‌اند، با این حال مشکلاتی نظیر هزینه بالا، سمی بودن و سختی تعیین نسبت مولی C/Zr و C/B/Zr را در بر دارد. به همین سبب یان<sup>۱</sup> و همکارانش [۳۵]، با استفاده از مواد اولیه هیبریدی آلی-غیرآلی، یعنی استفاده از مواد اولیه غیر آلی اکسی کلرید زیرکونیم (ZrOCl<sub>2</sub>.8H<sub>2</sub>O) و H<sub>3</sub>BO<sub>3</sub> به عنوان منبع زیرکونیا و اسید بوریک و کربن پپرولیز شده از رزین فنولیک، سنتز ذرات ZrB<sub>2</sub> را بررسی کرده‌اند. آن‌ها در دمای حدود ۱۵۰۰°C و به مدت ۱ ساعت موفق به تولید ذراتی با اندازه کمتر از ۲۰۰ nm شده‌اند (شکل ۱۲).

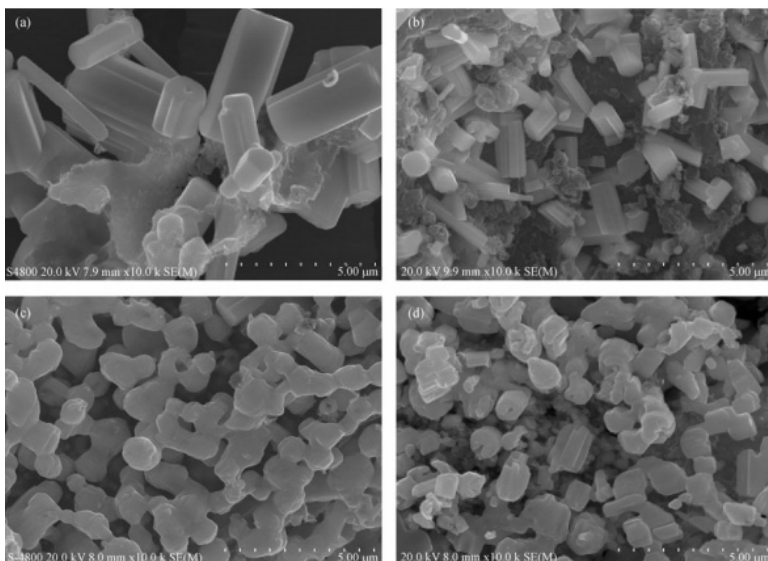


شکل ۱۲- تصویر SEM دیبورید زیرکونیم سنتز شده در دمای ۱۵۰۰°C به مدت ۱ ساعت [۳۵].

یانگ<sup>۲</sup> و همکارانش [۳۶] نیز به همین روش ذرات ZrB<sub>2</sub> را سنتز کرده‌اند. آن‌ها علاوه بر تاثیر دما، زمان

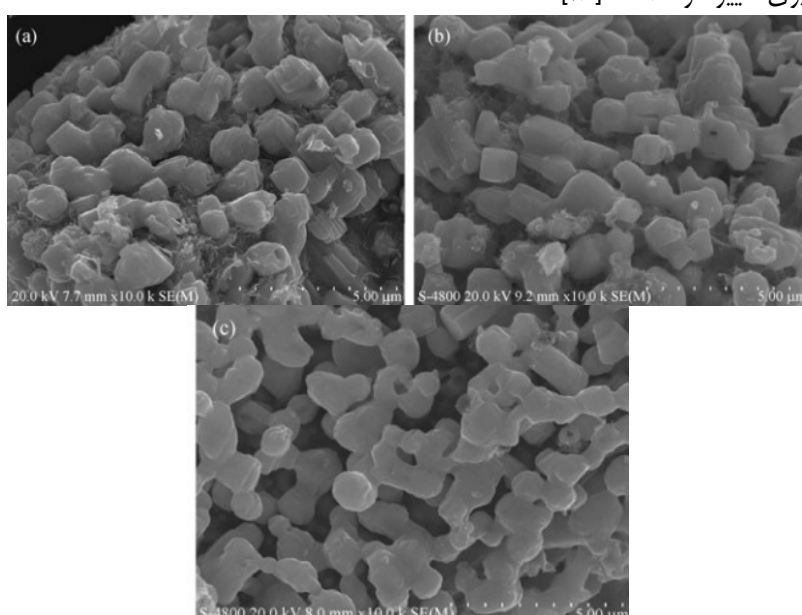
<sup>1</sup> Yan  
<sup>2</sup> Yang

نگهداری در مرحله کلسیناسیون مواد اولیه را نیز بررسی کرده‌اند. شکل ۱۳ تصاویر SEM ذرات سنتز شده را نشان می‌دهد. همانطور که مشاهده می‌شود اندازه ذرات ZrB<sub>2</sub> با افزایش دما کاهش می‌یابد و به این علت است که جوانه زنی ذرات دیبورید زیرکونیم بسیار سریع‌تر از رشد آن‌ها صورت می‌گیرد. به علاوه شکل ذرات از میله‌ای در دماهای ۱۴۵۰ و ۱۵۰۰ درجه سانتی‌گراد به شکل کروی در دماهای بالاتر یعنی ۱۵۵۰ و ۱۶۰۰ درجه سانتی‌گراد تغییر کرده است.



شکل ۱۳- تصاویر SEM پودر دیبورید زیرکونیم در دماهای واکنش مختلف [۳۶] (a) ۱۶۰۰°C, (b) ۱۵۵۰°C, (c) ۱۵۰۰°C, (d) ۱۴۵۰°C

حضور آب در حلال از تشکیل ساختار بسیار ریز دانه ذرات کلوجیدی دی اکسید زیرکونیم جلوگیری کرده که تاثیر مستقیم بر اندازه ذرات ZrB<sub>2</sub> دارد. کوچکترین اندازه ذرات (۱۰۰–۴۰۰ nm) در دمای ۱۵۵۰°C و پس از ۲۰ دقیقه به دست آمده است. در شکل ۱۴، تصاویر SEM پودرهای سنتز شده در دمای ۱۵۵۰°C با زمان‌های نگهداری متفاوت آورده شده است (۲۰–۶۰ دقیقه). به نظر می‌رسد که اندازه ذرات با افزایش زمان نگهداری به مقدار ناچیزی تغییر کرده است [۳۶].



شکل ۱۴- تصاویر SEM پودرهای دیبورید زیرکونیم سنتز شده در ۱۵۵۰°C و زمان‌های نگهداری متفاوت (a) ۲۰ دقیقه، (b) ۳۰ دقیقه و (c) ۶۰ دقیقه [۳۶].



اگروپن<sup>۱</sup> و همکارانش [۳۷]، با استفاده از اکسی نیترات زیرکونیم ( $ZrO(NO_3)_2 \cdot 2H_2O$ )، رزین فنولیک و ترا اتیل ارتو سیلیکات (TEOS) در دمای  $145^{\circ}C$  به ذرات کروی شکل  $ZrB_2$  با اندازه حدود  $1\mu m$  دست یافته‌اند. وانگ<sup>۲</sup> و همکارانش [۳۸] با ترکیب دو روش سل ژل و بوروکربوترمال، پودر  $ZrB_2$  بسیار ریز و با خلوص بالا را سنتز کرده‌اند. مواد اولیه مورد استفاده اکسی کلرید زیرکونیم ( $ZrOCl_2 \cdot 8H_2O$ )، کاربید بور و کربن بوده است. در ادامه مخلوط ریز دانه مواد اولیه با استفاده از فرایند بر پایه محلول و رسوب‌دهی زیرکونیم اکسی کلرید به عنوان منبع زیرکونیا، کاربید بور و کربن در آب حاصل شده است. واکنش بوروکربوترمال در دمایی کمتر از  $1600^{\circ}C$  و مدت ۲ ساعت کامل شده و پودرهایی با متوسط اندازه ذرات کم ( $1-2\mu m$ ) و خلوص بالای ۹۹/۶wt% به دست آمده است.

#### ۴- روش‌های واکنشی

روش‌های واکنشی شامل روش‌های سنتز احتراقی، آلیاژ سازی مکانیکی، روش مکانو شیمیایی و سنتز احتراقی حجمی می‌باشد. روش سنتز احتراقی بر پایه واکنش گرمایی شدید بین پودرهای اولیه استوار است. دمای احتراق نهایی بالا است (بیشتر از  $1000^{\circ}C$ ) و در زمان کوتاهی واکنش اتفاق می‌افتد و همچنین سرمایش در این نوع واکنش با سرعت‌های زیاد ( $10^3-10^6 C/s$ ) روی می‌دهد. خواص و ساختار محصولات واکشن خود احتراقی با روش‌های سنتز در حالت جامد متفاوت است. به دلیل سرعت‌های سرمایش بالا، غلظت عیوب افزایش یافته و ساختارهای غیر تعادلی موجود در محصول، سبب پدید آمدن حالت نیمه پایدار، فعالیت بیشتر و سیترپذیری بهتر می‌شود [۳۹]. در فرایند سنتز خود احتراقی دما بالای دی‌بورید زیرکونیم، پودرهای زیرکونیم و بور فلزی مخلوط شده و حرارت داده می‌شوند. پس از رسیدن سطح به دمای مورد نیاز، منبع حرارت خاموش شده و موج حرارت در داخل نمونه پیش روی می‌کند [۴۰]. لو<sup>۳</sup> [۴۱] برای سنتز ذرات  $ZrB_2$  از مخلوط بور، دی‌اکسید زیرکونیم و آلومینیوم استفاده کرده است. در اواخر سال ۱۹۹۰ میلادی، حجم مقالات در زمینه سنتز احتراقی افزایش یافت که موضوعات آنها عبارتند از سنتز خود احتراقی به صورت مکانیکی (Mechanically induced Self-propagating Reactions - MRS) که در آن واکنش سنتز خود احتراقی در طول آسیاب درون بالمیل صورت می‌گیرد تا پودر به حالت بحرانی مطلوب برسد و روش آلیاژسازی مکانیکی و سنتز خود احتراقی دما بالا به طور همزمان (Mechanically Activated Self-propagating High-temperature Synthesis - MASHS) که شامل مدت کوتاهی آسیاب پر انرژی مواد اولیه و در ادامه سنتز خود احتراقی است. شرایط آسیاب بر اندازه ذرات و تنفس باقیمانده موثر است و گزارش شده که سرعت انتقال فازها را در سنتز خود احتراقی تغییر می‌دهد [۴۲]. خانرا<sup>۴</sup> و همکارانش [۴۳]، مخلوط پودرهای  $ZrO_2$ ،  $Mg$ ،  $H_3BO_3$  و  $Mg$  برای سنتز  $ZrB_2$  به این روش به کار برده‌اند (واکنش ۱۱) و به این نتیجه رسیده‌اند که افزودن  $NaCl$  به این ترکیب منجر به کاهش اندازه ذرات  $ZrB_2$  خواهد شد.



با این حال استفاده از مواد اولیه اکسیدی نه تنها منجر به تشکیل محصولات جانبی مانند منیزیم بورات می‌شود که نیاز به مرحله اسیدشویی دارد، بلکه بازده واکنش دهنده‌ها را نیز کاهش می‌دهد [۴]. علاوه بر این  $ZrO_2$  باقیمانده در محصولات به جا می‌ماند.  $ZrB_2$  واکنش نکرده در تولیدات نمی‌تواند از  $ZrB_2$  جدا شده و منجر به عدم حلایقت در اسید می‌شود [۴ و ۴۴]. در پژوهشی دیگر خانرا [۴۵] چگونگی واکنش سنتز خود احتراقی را شرح داده است. سنتز سیستم  $Mg - H_3BO_3 - Mg_3(BO_3)_2$  منجر به تشکیل فازهای  $Mg_4B_4$  و  $Mg_3(BO_3)_2$  خواهد

<sup>1</sup> Xiaopan

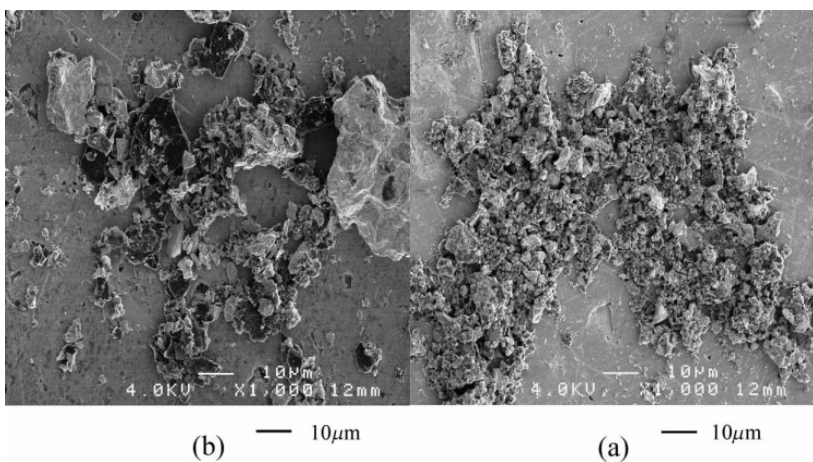
<sup>2</sup> Wang

<sup>3</sup> Low

<sup>4</sup> Khanra

شد، در حالیکه  $ZrO_2$  در طول سنتز در سیستم  $Mg-ZrO_2$  به مقدار جزئی به  $Zr$  و  $Zr_3O$  کاهش یافته است. واکنش بین عنصرهای  $Zr$  و  $MgB_4$  منجر به تشکیل  $ZrB_2$  خواهد شد.

تاچیدا<sup>۱</sup> و همکارش [۳۹]، پودر فلز زیرکونیم با اندازه ذرات کمتر از  $150\text{ }\mu\text{m}$  (خلوص ۹۸٪)، بور آمورف و گرافیت طبیعی (اندازه ذرات پولکی کمتر از  $5\text{ }\mu\text{m}$ ) را به عنوان مواد اولیه به کار برده‌اند. این پودرها در نسبت مولی  $1/1/1$   $Zr/B/C=1/1/1$  در یک هاون آگات مخلوط شده و سپس در یک بالمیل به مدت  $15-120\text{ min}$  آسیاب شده‌اند. سپس نمونه‌ها در بوته گرافیتی و در معرض هوا حرارت داده شده و واکنش گرماده صورت گرفته است. پس از واکنش، محصول تشکیل شده و مقداری از نمونه‌ها نیز واکنش نکرده باقی می‌ماند. یک واکنش حالت جامد همدما نیز در مخلوط پودر با نسبت وزنی  $Zr/B/C=1/1/1$  در اتمسفر آرگون در دماهای  $600-1200$  درجه سانتی‌گراد و به مدت  $60$  دقیقه صورت گرفته است. شکل ۱۵، به ترتیب تصاویر SEM محصولات به دست آمده در هوا تحت آزمایش آلیاژسازی مکانیکی- سنتز حرارتی دما بالا و واکنش حالت جامد در اتمسفر آرگون را نشان می‌دهد. در شکل (a)، توزیع یکنواختی از ذرات کوچکتر از میکرومتر  $ZrC$  و  $ZrB_2$  با مقدار کمی از عناصر واکنش نکرده  $Zr$  و  $C$  مشاهده می‌شود. ولی در شکل (b)، ذرات در محدوده کمتر از میکرون تا  $10$  میکرومتر توزیع شده‌اند. بنابراین، محصول به دست آمده از روش آلیاژسازی مکانیکی- سنتز حرارتی دما بالا، در اتمسفر هوا، بهتر بوده و ریزساختار همگن و ذرات ریزتری دارد و ماده اولیه بهتری برای ساخت کامپوزیت‌های حاوی  $ZrB_2$  است.



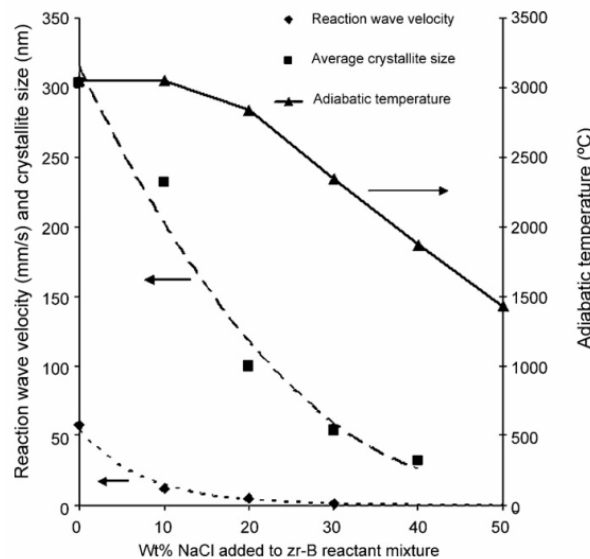
شکل ۱۵- تصاویر SEM حاصل از نمونه‌های  $Zr/B/C=1/1/1$  به وسیله (a) واکنش فعالسازی مکانیکی- سنتز خود احتراقی و (b) واکنش حالت جامد همدما در  $1200^{\circ}\text{C}$  برای  $60\text{ min}$  در آرگون [۳۹].

دمای بالا در فرایند سنتز خود احتراقی، منجر به درشت شدن دانه‌ها می‌شود. تولید پودرهای نانو با استفاده از این روش نیز به صورت گسترده مورد بررسی قرار گرفته است. در پژوهشی که به وسیله کامورلو<sup>۲</sup> [۴۶] صورت گرفته است، تاثیر افزودن عوامل رقیق کننده به واکنش دهنده‌ها بررسی شده است. وی با استفاده از اجزای فرار به عنوان مواد رقیق کننده به ذرات زیر میکرون دست یافته است. در این پژوهش، کامورلو پودر  $Zr$  با اندازه ذرات  $1-3\text{ }\mu\text{m}$  و پودر  $B$  با اندازه ذرات کمتر از  $1\text{ }\mu\text{m}$  به علاوه درصدهای مختلفی از  $\text{NaCl}$  را مخلوط کرده است. دلایل استفاده از  $\text{NaCl}$  به عنوان رقیق کننده عبارتند از اینکه اولاً  $\text{NaCl}$  با مواد اولیه واکنش نداده و اعتقاد بر این است که امکان دارد یک لایه بین کریستال‌های  $ZrB_2$  به وسیله جلوگیری از رشد آنها به وسیله جدایش آن‌ها از یکدیگر گسترش یابد. دومین دلیل سادگی جدایش  $\text{NaCl}$  از محصولات است، که منجر به حلایلت بیشتر در آب می‌شود. میانگین اندازه ذرات  $ZrB_2$  با فرمول شر<sup>۳</sup> و با استفاده از

<sup>1</sup> Tsuchida  
<sup>2</sup> Camurlu  
<sup>3</sup> Scherrer

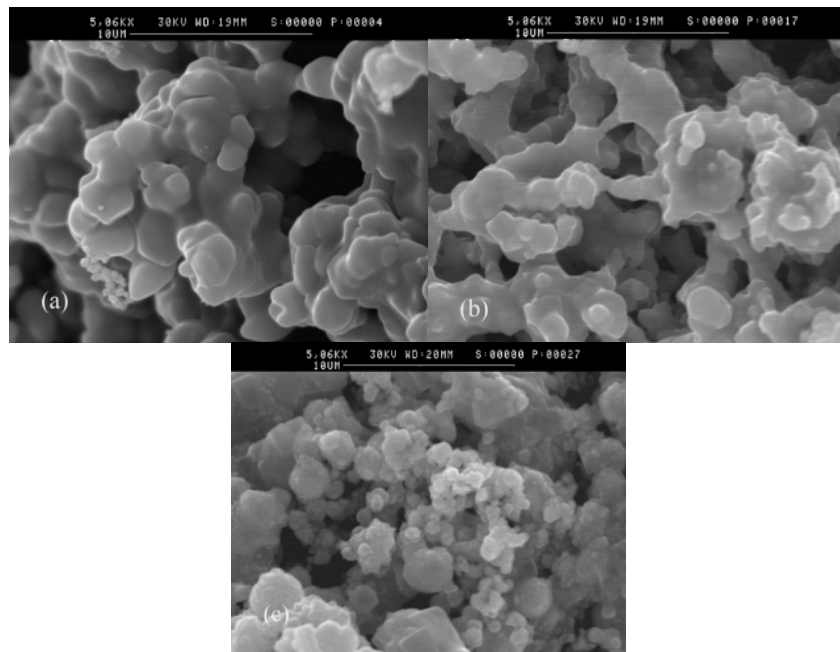


پهنهای پیک‌ها در XRD اندازه‌گیری شده و در شکل ۱۶ نشان داده شده است. کاهشی شدید تقریباً از ۳۰۰nm تا ۳۰nm با کاهش دمای آدیابتیک از ۳۰۵۰ تا ۱۸۷۰ درجه سانتی‌گراد صورت گرفته است.



شکل ۱۶- دماهای آدیابتیک، سرعت پیشرفت واکنش و میانگین اندازه ذرات ZrB<sub>2</sub> [۴۶]

تصاویر SEM حاصل از افزایش مقدار NaCl در شکل ۱۷ آورده شده است. اندازه ذرات ZrB<sub>2</sub> از حدود ۲-۴μm (شکل ۱۷-a) با بیش ترین دمای احتراق به زیر یک میکرون شکل ۱۷-c) با کمترین دمای احتراق کاهش می‌یابد. با کمترین میزان NaCl ذرات بسیار درشت شده‌اند. با افزودن بیش از ۱۰wt% NaCl به ترکیب، به نظر می‌رسد که در مورفولوژی ذرات، ذوب جزئی صورت گرفته است (شکل ۱۷-a,b). با افزایش میزان NaCl، اندازه ذرات کاهش می‌یابد [۴۶].



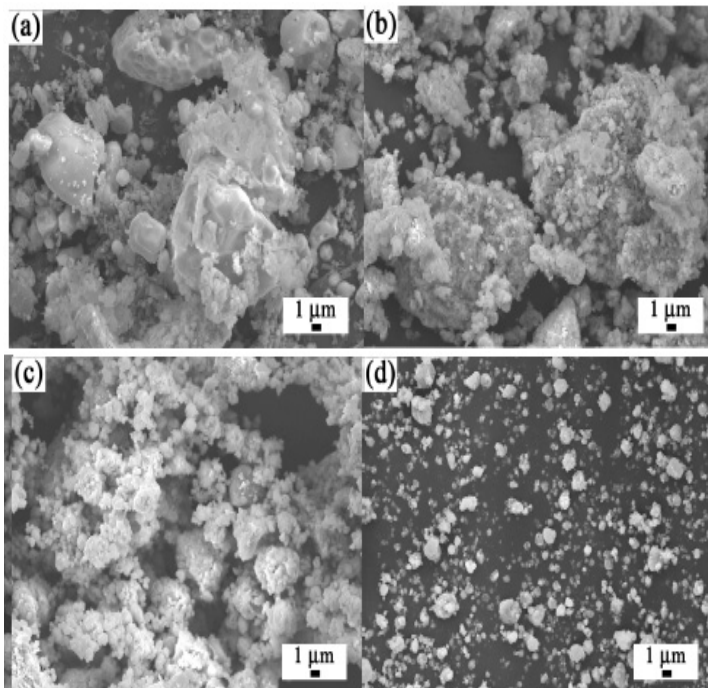
شکل ۱۷- تصاویر SEM سطح شکست محصولات به دست آمده از مخلوط Zr-B به همراه ۳۰wt% NaCl (b)، ۱۰wt% NaCl (c) و ۰wt% NaCl (a) [۴۶]

اخیرا چمبرلین<sup>۱</sup> و همکارانش [۴۷] به وسیله آسیاب اصطکاکی (آلیاژسازی مکانیکی)، نانو ذرات زیرکونیم را

<sup>1</sup> Chamberlain

سترنز کرده و سیپس با استفاده از پرس گرم، به سرامیک ZrB2 با اندازه ذرات کمتر از  $5\text{ }\mu\text{m}$  رسیده‌اند. بروچا<sup>۱</sup> و همکارانش [۴۸] نیز نمونه‌های ZrB2 را با مخلوط پودرهای زیرکونیم و بور به وسیله‌ی تبدیل دینامیکی ساخته‌اند. آن‌ها به این نتیجه رسیده‌اند که آلیاژسازی مکانیکی روشنی خوب برای تولید پودرهای بسیار ریز و فعال است. به علاوه به نظر می‌رسد که آلیاژسازی مکانیکی روشنی مناسب برای کاهش دمای واکنش‌های مورد استفاده است.

آلیاژسازی مکانیکی جزء روش‌های حالت جامد است که برای سنتز فازهای تعادلی و نیمه پایدار به صورت تجاری به کار برده می‌شود. این روش شامل بار ریزی مخلوط پودرها به یک محفظه خردایش آب بندی شده و سپس آسیاب ذرات برای رسیدن به ابعاد مورد نیاز است [۴۹].



شکل ۱۸- تصاویر SEM مخلوط پودرهای Zr-2B بعد از آسیاب کردن

به مدت (a) ۰h (b) ۱۲h (c) ۲۰h و (d) ۵۰h

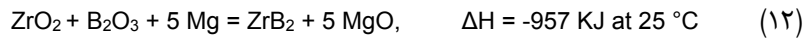
فنگ<sup>۲</sup> و همکارانش [۵۰] با استفاده از روش آلیاژسازی مکانیکی ذرات ZrB2 را در ابعاد نانو سنتز کرده‌اند. آن‌ها پودرهای تجاری زیرکونیم (خلوص ۹۸٪  $45\text{ }\mu\text{m}$ ) و بور آمورف (خلوص ۹۹٪  $1\text{ }\mu\text{m}$ ) را به عنوان مواد اولیه به کار برده و نسبت زیرکونیم و بور را ۱ به ۲ انتخاب کرده‌اند. سیپس پودرها را در بالمیلی از جنس سیلیکون کاریبید با حجم ۲۵۰ ml ریخته و نسبت وزنی پودر به گلوله‌ها را ۱ به ۱۵ در نظر گرفته‌اند. حجم کلی گلوله‌ها و پودرها، یک سوم ظرفیت بالمیل بوده و گاز آرگون (خلوص ۹۹٪) جهت جلوگیری از اکسیداسیون پودرهای خام به کار برده شده است. سیپس ظرف بالمیل SiC، روی یک صفحه‌ی متحرک ثابت شده و به مدت ۲ ساعت با سرعت ۳۰۰ rpm آسیاب شده است. مورفولوژی مخلوط پودرهای آسیاب شده در شکل ۱۸ نشان داده شده است. شکل (a-۱۸) مخلوط پودرهای اولیه زیرکونیم و بور را نشان می‌دهد. همانطور که مشاهده می‌شود، ذرات زیرکونیم و بور به صورت آشکاری از هم جدا هستند. پس از ۲ ساعت آسیاب کردن، ذرات زیرکونیم و بور به خوبی با هم مخلوط شده‌اند (شکل ۱۸-۱۸b). سطح ذرات زیرکونیم بسیار درشت شده و ذرات کوچکی به سطح چسبیده‌اند. در طول آسیاب، تغییر شکل پلاستیک ذرات زیرکونیم

<sup>1</sup> Brocha  
<sup>2</sup> Feng



منجر به کرنش کریستال و پهن شدن پیک‌های پراش می‌شود. با افزایش زمان آسیاب به بیش از ۱۲ ساعت، هیچ ذره‌ای با قطر بیش تر از  $5 \mu\text{m}$  مشاهده نمی‌شود (شکل ۱۸-۵). با این حال این ذرات ریز به راحتی آگلومره شده‌اند. هنگامیکه زمان آسیاب کردن به بیش از ۲۰ ساعت بررسد، به نظر می‌رسد که ذرات ریزتر شده‌اند (شکل ۱۸-۶). آزمون توزیع اندازه ذرات نشان می‌دهد که بیش ترین ذرات، ابعادی کمتر از  $1 \mu\text{m}$  را داشته‌اند و اندازه ریزترین ذرات،  $100\text{ nm}$  است. سطح ویژه اندازه گیری شده مخلوط پودرها،  $3/625 \text{ m}^2/\text{g}$  است که بیش تر از مقدار آن برای پودرهای اولیه است ( $2/50.9 \text{ m}^2/\text{g}$ ).

همانطور که ذکر شد روش آلیاژسازی مکانیکی روشی مناسب برای سنتز ذرات نانو است، با این حال به علت استفاده از مواد اولیه عنصری یعنی عناصر خالص زیرکونیم و بور، روشی اقتصادی به شمار نمی‌آید. در صورتیکه از اکسید زیرکونیا استفاده شود، هزینه این فرایند کاهش می‌یابد. روش مکانو شیمیایی، نمونه‌ای از واکنش‌های حالت جامد است که در آن از مخلوط پودرهای زیرکونیا و بور آمورف برای سنتز ذرات دیبورید زیرکونیم استفاده می‌شود. میلت<sup>۱</sup> و همکارش [۵۱] با استفاده از این روش ذرات  $\text{ZrB}_2$  را در ابعاد ۱ میکرومتر و در دمای نسبتاً کمی ( $1100^\circ\text{C}$ ) سنتز کرده‌اند. ستوده<sup>۲</sup> و همکارش [۴۴] نیز با استفاده از واکنش ۱۲، ذرات  $\text{ZrB}_2$  را پس از ۱۵ ساعت آسیاب، سنتز کرده‌اند. ابعاد ذرات حاصل حدود ۷۵ نانومتر است.



تاکنون مطالعات بسیاری در زمینه سنتز ذرات  $\text{ZrB}_2$  با استفاده از واکنش ۱۲ صورت گرفته است. آگان<sup>۳</sup> و همکارانش [۵۲] نیز با استفاده از دو روش متفاوت سنتز احتراقی حجمی و فرایند مکانو شیمیایی این ذرات را سنتز کرده‌اند. در سنتز احتراقی حجمی کل نمونه به صورت غیر یکنواخت حرارت داده می‌شود تا واکنش به صورت همزمان در کل واکنش‌گرها صورت گیرد. محصولات حاصل از این فرایند به سبب واکنش همزمان، از نظر ترکیب فازی و ریزاساختار یکنواخت می‌باشند [۵۳]. در طول واکنش سنتز احتراقی حجمی، افزایش ناگهانی دما بیانگر وقوع واکنش است و دمای احتراق واکنش با انجام یک مرحله فعالسازی مکانیکی می‌تواند کاهش یابد [۵۴] و [۵۵].

ولی در فرایند مکانو شیمیایی به علت آسیاب و خردایش ذرات، ابعاد ذرات کاهش یافته و در نهایت انرژی به صورت نابه جایی و عیوب در بین واکنش دهنده‌ها منتقل می‌شود. در نتیجه، ناحیه تماس بین ذرات واکنش دهنده افزایش یافته و واکنش ۱۲ می‌تواند در دمای اتفاق صورت گیرد [۵۶]. آگان و همکارانش [۵۲] با استفاده از این دو روش، دمای واکنش سنتز احتراقی حجمی را پس از ۱۵ ساعت آسیاب از  $758^\circ\text{C}$  به ۲۲۴ رسانده‌اند.

## ۵- نتیجه‌گیری

تاکنون روش‌های بسیاری برای سنتز نانو ذرات دیبورید زیرکونیم به کار رفته است که انتخاب هر یک از این روش‌ها مزايا و معایي را در بر دارد. ذکر اين نكته ضروري است که مواد اوليه زيرکونيم و بور گران قيمت بوده و در انتخاب روش تاثير گذارند. روش‌های احیا جزء روش‌های کم هزينه محسوب می‌شوند. در روش احیای بوروترمال از پودرهای اولیه  $\text{ZrO}_2$  و بور و در روش احیای کربووترمال از  $\text{ZrO}_2$  و کربن استفاده می‌شود. ترکيب اين دو روش، احیای بوروکربووترمال می‌باشد که در آن از مواد اوليه حاوی بور و کربن استفاده شده است. معمولاً ترکيب  $\text{ZrO}_2$ ,  $\text{B}_4\text{C}$  و کربن برای اين منظور به کار می‌رود. در اين بين ذرات سنتز شده از روش‌های بر پايه محلول، به علت اختلاط بيش تر اجزا، خلوص بيش تری دارند. عده اين روش‌ها،

<sup>1</sup> Millet

<sup>2</sup> Setoudeh

<sup>3</sup> Akgun



سترنر الکترو شیمیایی، احیای همزمان و روش سل ژل با استفاده از مواد اولیه آلی-فلزی در یک حلال آلی و یا مواد اولیه هیبریدی آلی و غیر آلی است. به منظور کاهش زمان تهیه محصول، روش‌های واکنشی نیز به کار برده شده‌اند. این دسته شامل روش‌های سترنر احتراقی، آلیاژسازی مکانیکی و روش آلیاژسازی مکانو شیمیایی است.

## مراجع

- Zhang, Y., Ruixing, Li., Yanshan, J., Bin, Zh., Huiping, D., Junping, Li., Zhihai, F., "Morphology evolution of ZrB<sub>2</sub> nano particles synthesized by sol-gel method", *J. Solid State Chem.*, 2011, 184, 2047-2052.
- Fahrenholtz, W. G., Hilmas, G. E., Talmy, I. G., Zaykoski, J. A., "Refractory Diborides of Zirconium and Hafnium", *J. Am. Ceram. Soc.*, 2007, 90, 1347-64.
- Sun, G., Wang, H., Wang, W., Wang, Y., FU, Z., "Synthesis of Ultra-fine ZrB<sub>2</sub> Powder by Borothermal Reaction under High Heating Rate", *Advanced Materials Research*, 2009, 66, 77-80.
- Akgün, B., "Formation of zirconium diboride and other metal borides by volume combustion synthesis and mechanochemical process", M. S. Thesis, Middle East Technical University, Ankara, 2008.
- Monticelli, C., Zucchi, F., Pagnoni, A., Colle, M. D., "Corrosion of a zirconium diboride/silicon carbide composite in aqueous solutions". *Electrochim. Acta*, 2005, 50, 3461-3469.
- Sonber, J. K., Murthy, T. S. R. Ch., Subramanian, C., Kumar, S., Fotedar, R. K., Suri, A. K., "Investigations on synthesis of ZrB<sub>2</sub> and development of new composites with HfB<sub>2</sub> and TiSi<sub>2</sub>", *Int. Journal of Refractory Metals and Hard Materials*, 2011, 29, 21-30.
- Makino, A., and Law, C. K., "SHS Combustion Characteristics of Several Ceramics and Intermetallic Compounds", *Journal of the American Ceramic Society*, 1994, 778-786.
- Bilgi, E., "Production of titanium diboride", M. S. thesis, Middle East Technical University, Ankara, 2007.
- Peshev, P., Bliznakov, G., "On the Borothermic Preparation of Titanium, Zirconium and Hafnium Diborides", *J. Less Common Met.*, 1968, 14, 23-32.
- Zhao, H., He, Y., Jin, Z., "Preparation of Zirconium Boride Powder", *J. Am. Ceram. Soc.*, 1995, 78, 2534-6.
- Guo, W. M., Zhang, G. J., "Reaction Processes and Characterization of ZrB<sub>2</sub> Powder Prepared by Boro/Carbothermal Reduction of ZrO<sub>2</sub> in Vacuum", *J. Am. Ceram. Soc.*, 2009, 92, 264-7.
- Wang, X. G., Guo, W. M., Zhang, G. J., "Pressureless Sintering Mechanism and Microstructure of ZrB<sub>2</sub>-SiC Ceramics Doped with Boron", *Scr. Mater.*, 2009, 61, 177-80.
- Karasev, A. I., "Preparation of Technical Zirconium Diboride by the Carbothermic Reduction of Mixtures of Zirconium and Boron Oxides", *Poroshkovaya Metall.*, 1973, 11, 80-4.
- Funke, V. F., Yudkovskii, S. I., "Preparation of Zirconium Boride", *Powder Metall. Met. Ceram.*, 1964, 2, 293-6.
- Kuzenkova, M. A., Kislyi, P. S., "Preparation of Zirconium Diboride", *Powder Metall. Met. Ceram.*, 1965, 4, 966-9.
- Barton, L., Nicholls, D., "The Hydrogenation of Boron Monoxide to Diborane and the Reactions of Boron and Boron Carbide with Titanium and Zirconium Dioxides", *J. Inorg. Nucl. Chem.*, 1966, 28, 1367-72.
- Andrieux, L., *Chim. Et. Ind.*, 1932, 27, 411.
- aijie, L., Ruixing, L., Yun, Zh., Jiang, Y., Bin, Zh., Chengqiang, L., Junping, L., Zhihai, F., "Low temperature synthesis of ZrB powder synergistically by borothermal and carbothermal reduction", *Rare Metals*, 2011, 30, 548.
- Ran, S.L., Biest, O.V., Vleugels, J., "ZrB<sub>2</sub> Powders Synthesis by Borothermal Reduction", *Am. Ceram. Soc.*, 2010, 93, 1586-90.
- Inghram, M. G., Porter, R. F., Chupka, W. A., "Mass Spectrometric Study of Gaseous Species in the B-B<sub>2</sub>O<sub>3</sub> System", *J. Chem. Phys.*, 1956, 25, 498-501.
- Hailong, W., Zhang, Sh., Chen, D., Han, Q., Lu, H., Xu, H., Chang, W., Zhang, R., "Carbothermal Reduction Synthesis of Zirconium Diboride Powders Assisted by Microwave", *Advanced Materials Research*, 2010, 105-106, 203-206.
- Xie, Y. L., Thomas, H., Sanders, S., F. Robert, "Solution-Based Synthesis of Submicrometer ZrB<sub>2</sub> and ZrB<sub>2</sub>-TaB<sub>2</sub>", *J. Am. Ceram. Soc.*, 2008, 91, 1469-1474.
- سیم چی، عبد الرضا، "آشنایی با نانو ذرات (خواص، روش‌های تولید و کاربردها)", دانشگاه صنعتی



24. Shapoval, V., Malyshev, V., Novoselova, I., Kushkhov, Kh., "Modern problems in the high-temperature electrochemical synthesis of the compounds of Group IV-VI transition metals", Russian Chemical Reviews, 1995, 64, 125-132.
25. Anthony, K. E., Welch, B. J., "Electrodeposition of Zirconium Diboride from Oxides Dissolved in Fused Salts", Aust. J. Chem., 1969, 22, 1593.
26. Mellors, G. W., Senderoff, S., "Electrodeposition of coherent coatings of refractory metals VII. Zirconium diboride", J. Electrochem. Soc., 1971, 118, 220-225.
27. Gomes, J. M., Uchida, K., Wong, M. M., United States Department of the Interior. Bureau of Mines, 1975, 14, 8053.
28. Wendt, H., Reuhl, K., Schwarz, V., "Cathodic deposition of refractory intermetallic compounds from FLiNaK melts", J. Appl. Electrochem., 1992, 22, 161-165.
29. Devyatkin, S. V., "Electrosynthesis of Zirconium Boride from Cryolite-Alumina Melts Containing Zirconium and Boron Oxides", Russ J Electrochem, 2001, 37, 1308.
30. Devyatkin, S. V., Lugovoi, V. P., Kaptyay, G., Kuznetsov, S. A., "High Temperature Electrochemical Synthesis of Zirconium Diboride from Chloro-Fluoride Melts", in Proc. Of the Int. Symp. Molten Salts X, The Electrochemical Society Inc., 1996, 96-7, 303-311.
31. Sacks, M. D., Wang, C. A., Yang, Z. H., Jain, A., "Carbothermal reduction synthesis of nanocrystalline zirconium carbide and hafnium carbide powders using solution-derived precursors", J. Mater. Sci., 2004, 39, 6057.
32. Chen, L., Gu, Y., Shi, L., Ma, J., Yang, Z., Qian, Y., "Low-Temperature Synthesis of Nanocrystalline ZrB<sub>2</sub> via Co-reduction of ZrCl<sub>4</sub> and BBr<sub>3</sub>", Bull. Chem. Soc. Jpn., 2004, 77, 1423-1424.
33. Chen, L., Gu, Y., Shi, L., Ma, J., Yang, Z., Qian, Y., "Preparation and some properties of nanocrystalline ZrB<sub>2</sub> powders", Scripta Materialia, 2004, 50, 959-961.
34. Preiss, H., Berger, L. M., Schultze, D., "Studies on the Carbothermal Preparation of Titanium Carbide from Different Gel Precursors", J.Eur.Ceram.Soc., 1999, 19, 195-206.
35. Yan, Y., Huang, Zh., Dong, Sh., Jiang, D., "New Route to Synthesize Ultra-Fine Zirconium Diboride Powders Using Inorganic-Organic Hybrid Precursors", J. Am. Ceram. Soc., 2006, 89, 3585-3588.
36. Yang, L., Zhu, sh., XU, Q., Yan, Zh., Liu, L., "Synthesis of ultrafine ZrB<sub>2</sub> powders by sol-gel process", Mater. Sci. China, 2010, 4, 285-290.
37. Xiaopan, Ch., Shizhen, Zh., Lijuan, Y., Qiang, X., "Solution-Based Synthesis of Ultra-Fine ZrB<sub>2</sub> Powders and ZrB<sub>2</sub>-SiC Composite Powders", Advanced Materials Research, 2010, 105-106, 213-217.
38. Wang, Ch., Wang, H., Yu, L., Huang, Y., "Synthesis of Ultra-fine and High-pure Zirconium Diboride Powders Using Solution-based Processing", Mater. Sci., 2007, 561-565, 523-526.
39. Tsuchida, T., Yamamoto, S., "Mechanical activation assisted self-propagating high-temperature synthesis of ZrC and ZrB<sub>2</sub> in air from Zr/B/C powder mixtures", Journal of the European Ceramic Society, 2004, 24, 45-51.
40. Mishara, S. K., Das, S., Das, S. K., Ramachandr Rao, P., "Sintering studies on ultrafine ZrB<sub>2</sub> powder produced by a self-propagating high-temperature synthesis process", National Metallurgical Laboratory Jamshedpur, 2000, 15, 2499-2504.
41. Low, M., "Self-propagating high-temperature synthesis of zirconium diboride ceramics", J. Mater. Sci. Lett., 1992, 11, 715-718.
42. Mossino, P., "Some aspects in self-propagating high-temperature synthesis", Ceramics International, (2004) pp: 311-332.
43. Khanra, A. K., Pathak, L. C., Mishra, S. K., Godkhindi, M. M., "Selfpropagating- high-temperature synthesis (SHS) of ultrafine ZrB<sub>2</sub> powder", J. Mater. Sci. Lett., 2003, 22, 1189-1191.
44. Setoudeh, N., Welham, N. J., "Formation of zirconium diboride (ZrB<sub>2</sub>) by room temperature mechanochemical reaction between ZrO<sub>2</sub>, B<sub>2</sub>O<sub>3</sub> and Mg", Journal of Alloys and Compounds, 2006, 420, 225-228.
45. Khanra, A. K., "Reaction chemistry during self-propagating high-temperature synthesis (SHS) of H<sub>3</sub>BO<sub>3</sub>-ZrO<sub>2</sub>-Mg system", Materials Research Bulletin, 2007, 42, 2224-2229.
46. Camurlu, H. E., Maglia, F., "Preparation of nano-size ZrB<sub>2</sub> powder by self-propagating high-temperature synthesis", Journal of the European Ceramic Society, 2009, 29, 1501-1506.
47. Chamberlain, A. L., Fahrenholtz, W. G., Hilmas, G. E., "Low-Temperature Densification of Zirconium Diboride Ceramics by Reactive Hot Pressing", J. Am. Ceram. Soc., 2006, 89, 3638.
48. Brochu, M., Gauntt, B., Zimmerly, T., "Fabrication of UHTCs by conversion of dynamically consolidated Zr+ B and Hf+ B powder mixtures", J. Am. Ceram. Soc., 2008, 9, 2815.
49. Suryanarayana, C., Ivanov, E., Boldyrev, V. V., "The science and technology of mechanical alloying", Materials Science and Engineering, 2001, 304-306, 151-158.
50. Feng Hu, Ch., Sakka, Y., Uchikoshi, T., Suzuki, T., Jang, B., Grasso, S., Suarez, G., "Synthesis, Microstructure and Mechanical Properties of ZrB<sub>2</sub> Ceramic Prepared by Mechanical Alloying and Spark Plasma Sintering", Key Engineering Materials, 2010, 165-

